

神奈川県

正員 安田 實

東京大学生産技術研究所

正員 久保 慶三郎

東京大学生産技術研究所

正員 片山 健雄

1. 研究の目的

本研究は、活断層を震源と考え、日本内陸の活断層の分布に基づいて、線震源モデルによる地震危険度を求めようとするものである。

2. 活断層データ

本研究の危険度解析のための活断層データとして、活断層研究会による「日本の活断層分布図と資料」¹⁾に掲載されていまる活断層のうち、活断層であることが確実、あるいは推定されるものの約2000個を用いた。ここで「活断層とは、第四紀以降に動いたことのあるものとして定義されてい。

計算機のためのデータベースとするために、活断層は折線で近似し、各活断層には、活動の程度を示す活動度²⁾に対応する平均変位速度を与えた。これは地震の発生率を決定する際の重要なデータとなる。

3. 地震の特性

ここでは、本研究の為に必要な諸式と値を示す。

3-1 $m - \bar{d}$ 式

地震マグニチュード m と、断層のすべり長さ \bar{d} (km)との間の関係としては、本研究で新たに求めた

$$\bar{d} = 0.678 \ln m + 4.77 \quad \dots \dots \dots (1)$$

という式を用いた。

3-2 $\bar{d} - m$ 式

m と、断層の平均変位量 \bar{d} (m)との間に、

$$\ln \bar{d} = 0.585m - 3.645 \quad \dots \dots \dots (2)$$

の関係³⁾ある。この式も新たに求めたものである。

3-3 Attenuation 式

地表面最大加速度 a (cm/s²)と、断層からの最短距離 r (km)との間に、Donovan²⁾によて

$$a = 1320 e^{0.58m} (r+25)^{-1.52} \quad \dots \dots \dots (3)$$

が与えられていく。

3-4 地震マグニチュードの震率密度関数 $f_m(m)$

Richterによって、マグニチュード m 以上の地震

の発生個数 $N(m)$ に関して、 a_0, b_0 を定数として

$$\log N(m) = a_0 - b_0 m \quad \dots \dots \dots (4)$$

が与えられていくが、これを用いて

$$f_m(m) = \frac{b_0 \ln 10 \cdot e^{-b_0(m-m_0) \ln 10}}{1 - e^{-b_0(m-m_0) \ln 10}} \quad \dots \dots \dots (5)$$

が求められる。 m_0 はマグニチュードの上限値、 m は工学的に意味のあるマグニチュードの下限値であり、それらは8.0, 4.5としてある。

b_0 の値は、Hattori³⁾の求めた値を基に、全国を0.7, 0.8, 0.9の3つの値で代表させてある。

3-5 $E - m$ 式

m と地震エネルギー E (erg)との間に、

Gutenberg-Richterによって

$$\log E = 1.5m + 11.8 \quad \dots \dots \dots (6)$$

の関係⁴⁾が与えられている。

4. 線震源モデルによる地震危険度評価式の説明

4-1 一般式

注目地点の周囲に、震源となる活断層があり個あるとし、 i 番目活断層でのマグニチュード m_i 以上の地震の発生率を ω_i (回/年)、 i 番目活断層で地震が起きたときに、注目地点で加速度 A (cm/s²)が a を超える確率を $\delta_i(a)$ すると、1年間に注目地点で加速度 A が a を超える確率 $P(A > a)$ は

$$P(A > a)_{\text{年}} = \sum_{i=1}^n \delta_i(a) \omega_i \quad \dots \dots \dots (7)$$

となる。

また、加速度 a を越える地震の再現期間 T_a (年)は

$$T_a = 1 / \sum_{i=1}^n \delta_i(a) \omega_i \quad \dots \dots \dots (8)$$

となる。

4-2 $\delta_i(a)$ の決定

活断層の注目地点から最も近い部分が「 r_1 」でとき、注目地点に影響を与える最小のマグニチュードを m_1 、注目地点から最も遠い部分が「 r_2 」でとき、注目地点に影響を与える最小のマグニチュード

を m_1 とし、 i 番目活断層でマグニチュード M_i の地震が発生するという現象を $E_i(m)$ とすと、 $\delta_i(a)$ は

$$\begin{aligned}\delta_i(a) &= \int_{m_1}^{m_i} P(A>a|E_i(m)) f_{im}(m) dm \\ &= \int_{m_1}^{m_i} P(A>a|E_i(m)) f_{im}(m) dm \\ &\quad + 1 - F_{im}(m_2) \quad \dots \dots \quad (9)\end{aligned}$$

となる。

図1のように長さ L_i の活断層 A と、震源地點 S を与えると、 m_1 は(3)式より決まり

$$m_1 = \frac{\exp\left\{\frac{a(\sqrt{h_a^2 + l_a^2} + 25)^{1.52}}{1320}\right\}}{0.58} \quad \dots \dots \quad (10)$$

m_2 は(1)式と(3)式より決まり、次の m_2 に関する方程式

$$\begin{aligned}h_a^2 + [L_i + l_a - \exp\{(m_2 - 4.77)/0.678\}]^2 \\ = \left\{ a e^{-0.58 m_2} / 1320 \right\}^{1.52} - 25 \quad \dots \dots \quad (11)\end{aligned}$$

の解として求まる。

$m_1 < m < m_2$ のときの $P(A>a|E_i(m))$ は、(1)式と(3)式を用いて

$$\begin{aligned}P(A>a|E_i(m)) = \\ \frac{\sqrt{\left\{ \left(a e^{-0.58 m} / 1320 \right)^{1.52} - 25 \right\}^2 - h_a^2 - l_a^2}}{L_i - \exp\left(\frac{m - 4.77}{0.678}\right)} \quad \dots \dots \quad (12)\end{aligned}$$

と求められる。

以上、(9)、(10)、(11)、(12)式より $\delta_i(a)$ が求まる。

4-3 ω_i の決定

(4)式の左辺を1年あたりの個数 $N_i(m)$ とし、 a_0 を1年あたりの値 a_{0i} とすれば ω_i は

$$\omega_i = N_i(m_0) = 10^{a_{0i} - b_0 m_0} \quad \dots \dots \quad (13)$$

として求まる。

$\omega = \omega_i$ 、長さ L_i の活断層の発生させうる最大のマグニチュード M_m は(1)式より

$$M_m = 0.678 \ln L_i + 4.77 \quad \dots \dots \quad (14)$$

と求まり、 M_m に対する平均変位量 \bar{d}_m は(2)式

から、発生エナルギー E_m は(6)式から求まり、活

動度によって平均変位速度 S_i ($m/1000$ 年) が与えられれば、活断層に毎年蓄積されるエネルギー E_i は

$$E_i = E_m / (\bar{d}_m \times 10^{-3} / S_i)$$

$$= S_i \cdot 10^{1.5 m_m + 11.8 - 3.645 - 0.585 m_m} \quad \dots \dots \quad (15)$$

となる。

また、Richter の式と(4)式より ω_i は

$$\begin{aligned}\omega_i &= \int_{m_0}^{m_i} \left(-\frac{dN_i(m)}{dm} \right) 10^{1.5 m + 11.8} dm \\ &= \frac{b_0 e^{(a_{0i} + 11.8) \ln 10}}{1.5 - b_0} \left\{ e^{(0.5 - b_0) m_0 \ln 10} \right. \\ &\quad \left. - e^{(0.5 - b_0) m_0 \ln 10} \right\} \quad \dots \dots \quad (16)\end{aligned}$$

となる。(15)式と(16)式より、 a_{0i} が決まり

従って、(13)式より ω_i が決定される。

4-4まとめ

以上で $\delta_i(a)$ 、 ω_i が求まり、任意の加速度レベルに対して(7)式により $P(A>a)$ が求まる。(8)式によれば T_a も求まる。

5. 日本の内陸型地震の危険度

2つ“述べ”下データと、4つ“述べ”下式を用いて、日本の内陸型地震の危険度図(25年地表面最大加速度)が図2のように求まつた。図2は、過去の地震の震央分布、後藤・龜田の危険度図⁴⁾、片山の危険度図⁵⁾と比較検討した結果、東京周辺を除いて妥当なものであることをわかり、本研究の手法の有用性が示された。

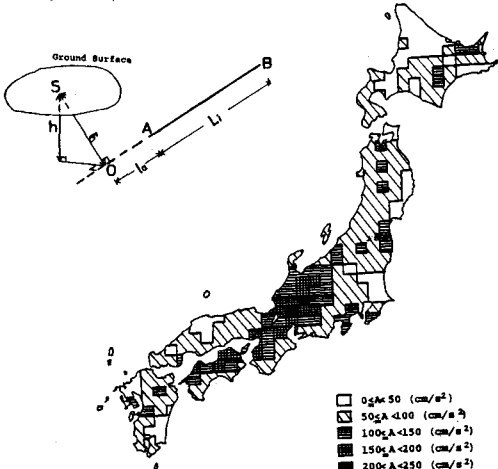


図 5-1 日本の内陸型地震の危険度(25年地表面最大加速度)

参考文献

- 1) 東京大学出版会、1980年2月
- 2) Donovan, N.C., "Earthquake Hazards for Buildings", Feb, 1973
- 3) Hattori, S., "Seismicity in and around Japan-Regional Distribution of b Value in log N = a - bM", 1974
- 4) 後藤・龜田、"地震時にかけうる最大地動の確率論的研究", 1968
- 5) Katayama, T., "Seismic Risk Analysis in Terms of Acceleration Response Spectra", 1979